

神戸大学工学部 正員 軽部大蔵
神戸大学大学院 横江一雄
同 上 岩井勇人

地盤の変形解析は、しばしば弾塑性モデルを用いて行なわれる。弾塑性モデルでは、弾性部分は軽視されがちであるが、この弾性近似の精度が解析結果に大きく影響するという見解がある。本報は、以前の2つの報告^{1,2)}を基礎として新たに静的繰返し三軸圧縮試験を行ない、せん断ひずみの回復成分を検討したものである。

試料 粉末カオリンから作成した飽和試料と大阪市の洪積層から採取された乱さない粘土である(表-1参照)。カオリンは、スラリー状にしたものを圧密容器に入れ、錐直荷重 2.5 kgf/cm^2 で一次元圧密して用いた。

試験方法と結果 $\phi = 35'''' \times 80'''$ の供試体を CU 試験した。試験条件は、表-2 に示されている。表中、供試体 A1 から U8 までは乱さない洪積粘土であり、圧密過程における最大圧密応力は p_c よりも低いものと、 p_c を超えるものに大別される。供試体 R2, R6 は、洪積粘土を完全に練り返したもの。K2, K6 は先述のカオリンである。軸圧縮過程は、分速 0.044 % のひずみ制御で行った。軸ひずみが、約 0.8 % に達した時に主応力差をのみを一旦ゼロに下げ、再び載荷した。同様の操作を約 2% および、8% がほとんど増加しなくなった時点で行った。

除荷にともなう軸ひずみの減少量 Parry³⁾ は、図-1 に示すように、軸ひずみが ϵ_0 の時点でのひずみを除荷すると、それにともなう回復ひずみ ϵ_r は、 ϵ^t に比例する。また、この比例定数は試験条件によらず試料固有の値となると主張した。図-1 繰返し試験の概念図矢後ら⁴⁾ は、繰返し信頼性工にこの現象が見られる事、下に主として繰返し粘土に関する既往資料を集め、比 $(\epsilon_r / \epsilon^t)$ が正規圧密状態におけるせん断抵抗係数 $M (= \gamma_{max})$ の増加関数となることを見出した。もし、応力～ひずみ関係が直線で、弾性係数が一定であるならば、比 $(\epsilon_r / \epsilon^t)$ は当然一定となるが、試験結果によれば、 ϵ^t が大きくなつて ϵ_r の増加が強化しても、この比は大きくは変動しないようである。

図-2 は、今回の試験結果である。図-3 は、図-2 に引いた直線の傾きと、各供試体の γ_{max} ($= (\sigma / p)_{max}$) の関係を示している。図中、○で囲んだプロットは、正規圧密状態の試験値であるからこれらに対しては、横軸は M に等しい。ところが図中の右上りの破線は、矢後ら⁴⁾ の実験式(横軸 M)であるから、○で囲まれたプロットとの直接の比較ができる。矢後らの式は大略の近似といえよう。しかし、乱さない粘土(○系の印)は全体として実験式の 2 倍程度の範囲を示している。図-4 は、比 $(\epsilon_r / \epsilon^t)$ が OCR と強く相関していることを示している。

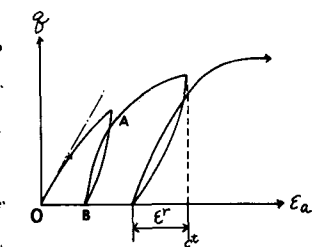


表-1 試料の物理的性質

試料	Gs	粘土分	WL (%)	WF (%)
洪積粘土	2.66	平均 70%	平均 65	平均 31
カオリン	2.74		66.8	29.8

表-2 試験の総括表

記号	供試体番号	p_c (kgf/cm ²)	p_c (kgf/cm ²)	OCR	ϵ_0	γ_{max}	$(\epsilon_r / \epsilon^t)$	備考
OA1	A 1	1	1	(3.55)	1.410	1.557	0.421	P_c''/P_c 3.55/1.66
OA2	A 2	2	2	(1.78)	0.996	1.188	0.361	乱さない洪積粘土
○	U 1 _{tenz}	1	8	8	0.965	1.650	0.485	
○	U 1 _{tenz}	1	8	8	0.687	1.525	0.412	
⊕	U 2	2	8	4	0.738	1.313	0.407	
●	U 6	6	8	1.33	1.089	0.933	0.353	
●	U 8	8	8	1	0.965	1.030	0.282	
□	R 2	2	6	3	0.734	1.188	0.177	繰返し洪積粘土
■	R 6	6	6	1	0.522	1.170	0.130	
△	K 2	2	6	3	1.078	1.038	0.204	
▲	K 6	6	6	1	1.095	0.890	0.155	カオリン

p_c : せん断開始時の p_c , p_c : 最大圧密応力
 ϵ_0 : せん断中の ϵ_0

変形係数 軸圧縮過程における $\eta \sim \epsilon_a$ 曲線の初期接線(図-1の鎖線)の傾きについて、軽部²⁾は、 $(d\epsilon_a/dx)$ を定義し、正規圧密された繰返し粘土では、この係数が間隙比 e_1 の増加関数で近似できるとした。ただし、 ϵ_a :主ひずみ差、 $x = \eta/M$ 。図-5aの中には、添字0を付けて示した3個のプロットは、今回の試験による $(d\epsilon_a/dx)|_{x=0}$ を示している。また図中の右上りの破線は、軽部の実験式を換算したものである。一方、繰返し試験中の弾性は、図-1のループの交点Aと等方応力点Bを結ぶ直線で代表できよう。この傾きから、各 ϵ^t における $(d\epsilon_a^t/dx)$ を求めると、図-5a~dのようである。ただし、図は、OCRごとにまとめてあり、また横軸に間隙比 e_1 をとっている。プロットの添字は $\epsilon^t(\%)$ であるが、OCRが1より大きいと、係数 $(d\epsilon_a^t/dx)$ は ϵ^t とともに増大する。しかし、図aの正規圧密状態では、初期剛線係数(添字0)は弾塑性状態で求められているので、大きな値をとっている。図-5から、弾性状態における係数 $(d\epsilon_a^t/dx)$ は、OCRと e_1 には無関係と結論できるようである。

文献

- 1) 第33回土木全国大会、III-31.
- 2) 土木学会論文報告集、273号。
- 3) Géotechnique vol. 24, pp.45-358.

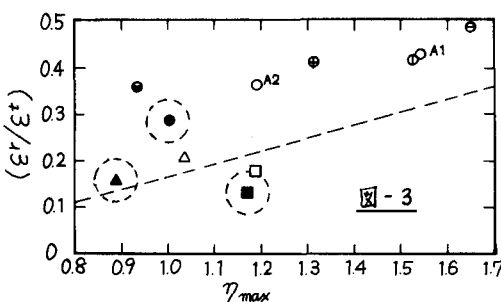


図-3

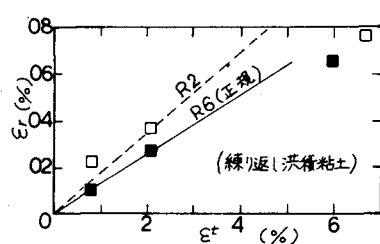


図-2 (上の5枚)

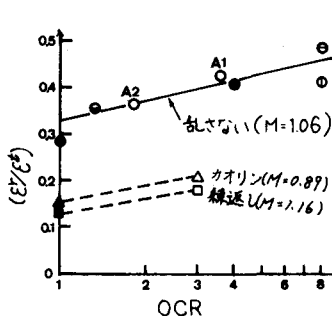


図-4 OCRの影響

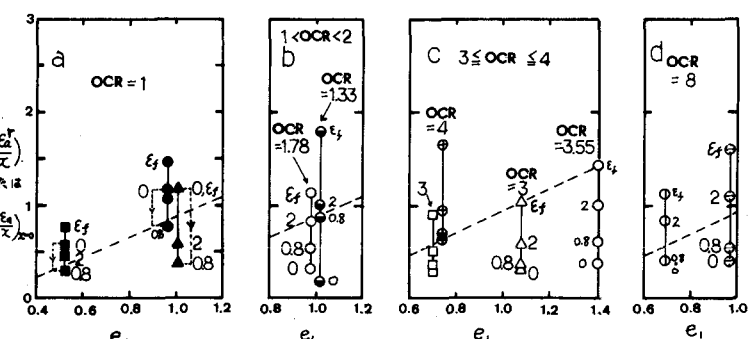


図-5 弹性変形係数(ただし、aの添字0は弾塑性状態)